

電氣流動 流體를 特徵으로 하는 知能 외팔보의 振動特性과 調律에 관한 研究

최승복*, 정재천*, 박용군*, 서문석**

A Study on Vibration Characteristics and Tuning of Smart Cantilevered Beams Featuring an Electro-Rheological Fluid

S.B. Choi*, C.C. Cheong*, Y.K. Park*, M.S. Suh**

ABSTRACT

Electro-Rheological(ER) fluids undergo a phase-change when subjected to an external electric field, and this phase-change typically manifests itself as a many-order-of-magnitude change in the rheological behavior. This phenomenon permits the global stiffness and energy-dissipation properties of the beam structures to be tuned in order to synthesize the desired vibration characteristics. This paper reports on a proof-of-concept experimental investigation focussed on evaluation the vibration properties of hollow cantilevered beams filled with an ER fluid, and consequently deriving an empirical model for predicting field-dependent vibration characteristics. A hydrous-based ER fluid consisting of corn starch and silicone oil is employed. The beams are considered to be uniform viscoelastic materials and modelled as a viscously-damped harmonic oscillator. Natural frequency, damping ratio and elastic modulus are evaluated with respect to the electric field and compared among three different beams: two types of different volume fraction of ER fluid and one type of different particle concentration of ER fluid by weight. Transient and forced vibration responses are examined in time domain to demonstrate the validity of the proposed empirical model and to evaluate the feasibility of using the ER fluid as an actuator in a closed-loop control system.

Key Words : Electro-Rheological Fluid(전기유동유체), smart Structure(지능 구조물), Elastodynamic Property(동탄성 특성), Pseudo-Control Force(가짜어력), Vibration Tuning(진동 조율), Vibration Control(진동 제어)

1. 序 論

知能(smart or intelligent) 構造物에 대한 開發은

로봇의 高速運動을 위한 構造 輕量化, 기름을 절약하기 위한 자동차 構造의 경량화, 그리고 피할 수 없는 대형 宇宙 構造物등의 경량화 要求에 따라 振動과 驟

* 인하대학교 기계공학과 (정회원)

** 국방과학연구소

문제가 대두 되면서 최근 미국을 비롯 여러 선진국에서新生하는尖端技術의 일환으로 활발한研究가 진행되고 있다. (1)-(6) 이러한研究開發 추세는 실제産業現場의 生産性 및品質向上을 통한製造業의 競争力 강화와도 밀접한 관계가 있어 매우 큰 의미를 갖고 있다. 지금까지定立된定義에 의하면知能構造物이란現存하는金屬 혹은複合材料構造物에連續continuous 혹은分布distributed 형의 액튜에이터 및센서를 접합 혹은 삽입한 것으로써構造物自體가豫測하기 힘든外亂에 대해固有의지능으로유효적절히대처할수있는機能을보유하고있는것을말한다. 現在 이러한構造물을形成하는媒體로서는액튜에이팅 및센싱능력을동시에갖고있는壓電필름(2), 센싱능력만을보유하고있는光纖維(3), 액튜에이팅+능력만을보유하고있는形狀記憶合金(4)과電氣流動ER流體(5), (6) 등을 들 수 있다.

本研究에서 提示된 ER流體의 가장 두드러진 特徵은電場負荷時液體상태에서 固體상태로相變化(phase change)하는것인데,一般的으로ER流體는크게물과잘섞이지않는溶媒液體,極性을띠고물을吸收하는溶質固體, 그리고ER流體의效果를증진시키는觸媒등세지로이루어져있다.一般的으로알려진ER流體의力學的性質은電場無負荷時뉴우톤流體로간주되지만電場負荷時비뉴우톤流體中에서빙햄(Bingham)性質을띠어降伏剪斷應力이電場의函數가된다. 이것은電場無負荷時ER流體의粒子가자유로이운동하다가電場負荷에는ER流體의粒子가체인형구조로되어流體의흐름을억제하여이와連繫된構造物혹은시스템의剛性및댐핑을增加시킨다.一般的으로ER流體의相變化를위해要求되는電場의크기는약1~3kV/mm(流體두께)이나電流密度(current density)가약 $10\mu\text{A}/\text{cm}^2$ 이하이기때문에相變化를위해要求되는電力은매우낮다. 그리고電場에대한流體의반응속도는1ms이하이고最大反應周波數는약12kHz이어서制御액튜에이터로서의要求條件를만족한다. 보다자세한ER流體의力學的特性,物理的特性 및應用分野는관련参考문헌에서찾아볼수있다.(7)-(10)

本論文은ER流體를特徵으로하는知能외팔보에대해서電場에따른動彈性變化를實驗의으로考察하였고, 나아가서現象學적모델을통한振動特性의豫測에 대하여조사하였다. ER流體와構造物이결합된

경우,現象的舉動이매우복잡하므로,單純化시키는假定들이모델링에適用되는데,試片을一定한粘彈性물질로간주하여粘性減衰調和振動으로相似하였다. 이런假定들과實驗的觀察을통해서얻어진現象의支配方程式이假狀態피드백制御系(pseudo-state-feedback control system)가되어, 원하는應答을얻기위해단순히피드백제이터를계산함으로서試片의振動應答을調律할수가있었다.假制御力(pseudo-control force)은ER流體에電場負荷에따른試片의變化된減衰와剛性을意味한다.時間領域에서過度및強制振動應答상태를觀察하여本論文에서提示된方法論에대한妥當性을立證하였고, 또한ER流體가閉루프制御系의액튜에이터로서使用可能함을確認하였다.

2. 動彈性特性

本實驗에서提案된知能외팔보는Fig. 1에서보는바와같이두개의알루미늄판, 실리콘고무,接着劑, 아크릴등으로이루어진샌드위치형의외팔보이다. 알루미늄판은傳道體로서電極(electrode)役割을하고있고, 실리콘고무는絕緣體(insulator)役割을하는것으로서부드럽고耐熱性을지니고있다. 접착제는알루미늄판과실리콘고무를접착시켜ER流體가밖으로흐르는것을방지하여주기위한것으로실리콘RTV를사용했다. 이接着劑는70°C에서1~2시간정도면잘굳는데, 굳고나면실리콘고무와같은性質을지닌다.

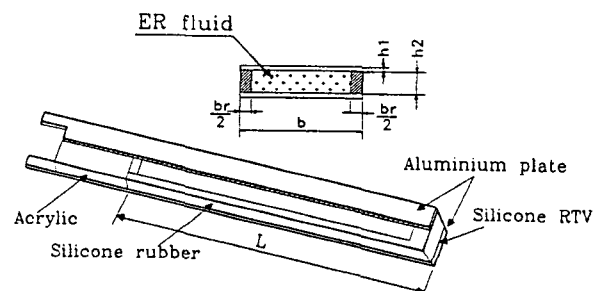


Fig. 1 Schematic diagram of the beam specimen

아크릴은不導體로서외팔보를固定具에支持시키기위해서사용된다.實驗에사용된試片의외형치수및ER流體의仕樣은Table 1에표시된다.試片構成에

서 ER流體濃度는 ER流體의 전체構成要素 중에서 溶質인 固體粒子가 차지하는 重量比를 뜻하며 ER流體의 體積化는 알루미늄판을 포함한 전체體積에 대해서 ER流體가 차지하는 體積比이다. 이것은 試片 양쪽의 고무폭(br)을 변화시켜 調節하였다.

Table 1. Specification of the specimens.

Specimen	ER concentration (wt %)	ER volume fraction (%)	L (mm)	h1 (mm)	h2 (mm)	b (mm)
A	55	52.3	200	0.2	2	20
B	55	45.3	200	0.5	2	20
C	45	52.3	200	0.5	2	20

Fig. 2는 實驗裝置를 나타내는 것으로서 試片을 세이커(shaker) 위에 固定시키고, 試片과 연결된 直流高電壓電力供給器(DC high voltage power supply)의 電流를 고정 시킨 후(0.5mA) 要求되는 電場을 連續的 혹은 on-off 형태로 試片에 供給한다. 세이커의 운동은 信號發生器에서 나온 一定한 周波數을 갖고 있는 正玄波를 增幅하여 얻는다. 세이커의 加振으로 인한 試片의 變位는 非接觸式變位器(noncontact proximitator)로 測定하였는데, 이것은 試片表面에 高電壓이 흐르기 때문이다. 이 變位器로 부터 나오는 出力信號는 周波數分析器(FFT analyzer)를 사용하여 時間領域과 周波數領域에서 分析되었다.

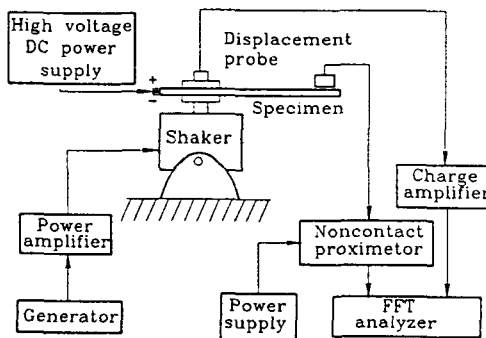


Fig. 2 Experimental set-up

試片을 세이커 위에 固定 시킨 후 電場을 0~1.5kV/mm까지 0.2kV/mm 간격으로 증가시키고, 正玄波發生器를 사용하여 0Hz부터 100Hz까지 스위핑(sweeping) 시켜 周波數應答函數에서 振幅이 최대인

점을 찾아 각 電場強度에 해당하는 減衰固有振動數(ω_d ; damped natural frequency)를 얻었다. 提案된 외발보의 경우 一定한 粘彈性物質이고 또한 첫번째 모드가 支配的인 것으로 假定하여 Fig. 3에서 보는 바와 같이 自由진동의 1自由度界로 모델상사(model analogy)를 시켜 解析하였다. Fig. 3으로부터 自由振動狀態에서의 支配方程式은 다음과 같이 表現된다.

$$\ddot{m_e}x(t) + c_e x(t) + k_e x(t) = 0 \quad (1)$$

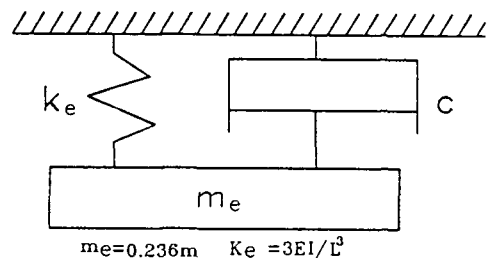


Fig. 3 Analogized beam model

여기서 x 는 變位, m_e 은 等價質量(effective mass), c 는 粘性減衰常數, k_e 는 等價 스프링剛性(effective stiffness)이다. 여기서 等價剛性(k_e)은 보의 끝점에서 單位荷重當變位로 써 구해지고, 等價質量(m_e)은 보 전체에 分布되어 있는 質量이 갖고 있는 運動 에너지를 발생 시킬 수 있는 보끝점에서의 集中質量을 고려하여 얻어지는데 m_e 는 全體 외발보 質量(m)의 0.236배이다. 本研究에서 提示된 知能 외발보의 경우는 低減衰界이므로 式(1)의 解는

$$x(t) = x_0 e^{-\zeta \omega_{n0} t} \sin(\omega_{d0} t + \varphi) \quad (2)$$

가 된다. 여기서 $\zeta = c/c_c$, $\omega_n^2 = k_e/m_e = (c_c/2m)^2$, $\omega_d = \omega_n \sqrt{1 - \zeta^2}$ 이다.

相似된 외발보의 모델을 고려하여, 等價剛性과 等價質量으로 固有振動數를 表現하면 다음과 같다.

$$\omega_n = \sqrt{(k_e/m_e)} = \sqrt{(3EI/L^3 m_e)} \quad (3)$$

여기서 E 는 弹性 모듈러스(elastic modulus), I 는 2차慣性모멘트이다. 한편, 代數減衰率 δ 는 試片 끝에서의 일정한 變位를 준 다음 自由振動狀態에서 다음 式으로 결정된다.

$$\delta = \frac{1}{n} \ln \left(\frac{x_1}{x_{n+1}} \right) = 2\pi\zeta / \sqrt{1-\zeta^2} \quad (4)$$

여기서 x_n 은 n 번째 진동한 절점의 진폭이다. 그래서, 自由 振動 상태에서 구한 減衰比 ζ 와, 強制 振動 상태에서 얻어진 減衰 固有振動數 ω_d 를 이용하여 ω_n 을 구한다. 또한, 式(3)에 代入하면 彈性 모듈러스(E)가 얻어진다.

Fig. 4는 電場負荷에 따른 減衰 固有振動數(첫번째 모드), 減衰比, 彈性 모듈러스(E)와 같은 動彈性 媒介變數의 變位를 나타낸다. 減衰 固有振動數 增加에서 濃度 및 體積比가 큰 試片 A는 1.0kV/mm의 電場 負荷時 34% 增加 하였고, 반면 같은 電場強度

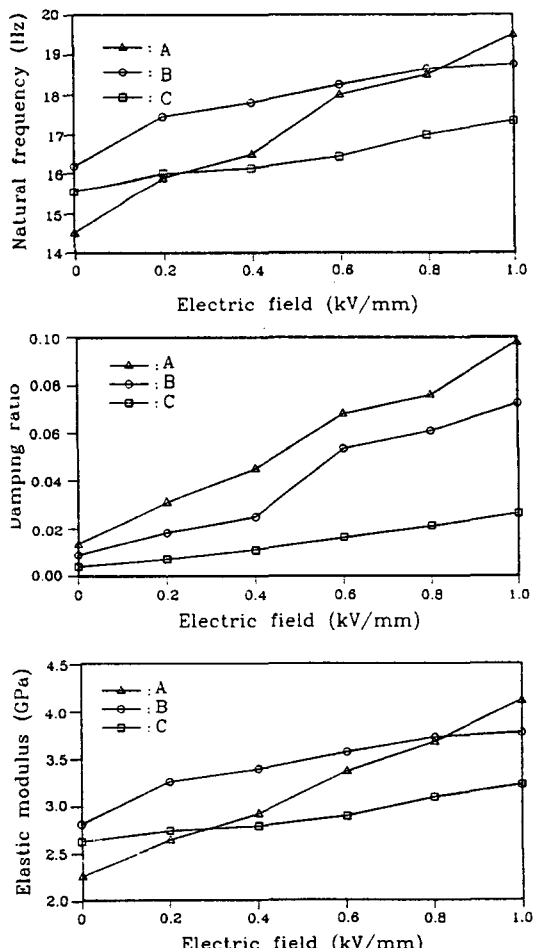


Fig. 4 Electric field-dependent elastodynamic properties

供給時 試片 B, C는 각각 약 16%와 11%의 增加率을 보였다. 따라서 ER流體를 엑튜에이터로 사용할 경우 電場負荷에 따라 固有周波數 증가율이 가장 큰 試片 A가 試片 B, C보다 넓은 幅의 制御領域(control bandwidth)을 줄수 있음을 알 수 있다. 減衰比와 彈性 모듈러스의 變화에서도 역시 試片 A가 가장 큰 增加率을 나타낸다. 그러므로 動彈性 媒介變數의 變化에서, ER流體를 構成하는 固有粒子의 濃度가 ER流體 體積比보다 더욱 중요한 因子임을 알 수 있다. 또한 減衰 固有周波數, 減衰比, 彈性모듈러스등은 電場 負荷에 따라 거의 직선적으로 증가함을 알 수 있다. 그리고 Fig. 5는 試片 A의 電場 負荷에 따른 電流密度의 變化를 나타낸 것으로써 電場의 제곱에 比例하는 것을 알 수 있으며⁽⁷⁾, 그 크기가 $\mu\text{A}/\text{cm}^2$ 이하이기 때문에 相變化를 위해 要求되는 電力은 매우 낮다.

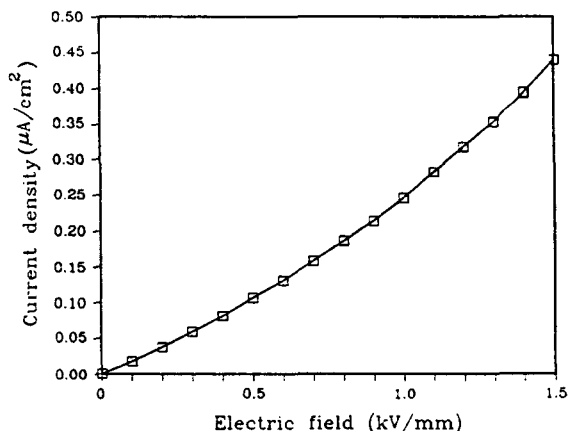


Fig. 5 Current density of the beam A.

3. 振動 調律

支配 方程式(1)을 現象的으로 다음과 같이 表現할 수 있다.

$$\ddot{x}(t) + 2\zeta_0\omega_0 \dot{x}(t) + \omega_0^2 x(t) = -2\zeta(V)\omega_n(V)x(t) - \omega_n^2(V)x(t) \quad (5)$$

여기서, ζ_0 와 ω_0 는 電場 無負荷時 減衰比 및 固有周波數를 나타내고, $\zeta(V)$ 와 $\omega_n(V)$ 는 電場 負荷時 變化된 이들 값을 각각 나타낸다. 式(5)는 既存의 比例-微分(PD) 制御係의 形태와 동일함을 알 수 있으며,

따라서 式(5)의 오른쪽 항을 假制御力 (pseudo-control force) 으로 하여 임의의 電場 負荷에서의 振動特性을豫測할 수가 있다. 假制御力を 電場 負荷의 크기 V 로 나타내기 위해서, 剛性 및 減衰의 增加와 附加된 電場 負荷사이의 關係를 앞장에서 구한 實驗值를 통하여 얻어졌다. 電場 無負荷時에 대해서 각각의 電場 負荷時의 固有周波數와 減衰比의 증가치를 分析하여, 式(5)의 假制御力を 아래와 같은 형태로 표시하였다.

$$\frac{\zeta(V)\omega_n(V)}{\zeta_0\omega_0} = \alpha_1 V$$

$$\frac{\omega_n^2(V)}{\omega_0^2} = \alpha_2 V \quad (6)$$

여기서 α_1 와 α_2 는 實驗 常數이다. Fig. 6은 本 論文에서 提示된 知能 외팔보에 대한 關係式(6)을 나타낸 것인데, 測定된 값을 최소자승법을 사용하여 직선으로 나타냈다. 이 직선의 기울기를 구하면 α_1 은 5.6078, α_2 는 0.8123이 된다.

따라서, 다음 變換을 사용하면

$$[x_1 \ x_2]^T = [x \ \dot{x}]^T \quad (7)$$

式(5)는 아래와 같이 狀態空間 式으로 表現된다.

$$\begin{bmatrix} \dot{x}_1 \\ \dot{x}_2 \end{bmatrix} = \begin{bmatrix} 0 & 1 \\ -\omega_0^2 & -2\zeta_0\omega_0 \end{bmatrix} \begin{bmatrix} x_1 \\ x_2 \end{bmatrix} + \begin{bmatrix} 0 \\ 1 \end{bmatrix} u \quad (8)$$

여기서

$$u = -\beta Kx_1 - Kx_2$$

$$K = 2\alpha_1\zeta_0\omega_0 V$$

$$\beta = \alpha_2\omega_0 / 2\alpha_1\zeta_0 \quad (9)$$

적절한 피드백 계인 K (電場의 함수)를 이용 함으로써 우리가 원하는 振動 應答을 나타내는 시스템을 얻을 수가 있다. ER流體의 應答速度가 1msec이하이고 直流 入力電壓을 쉽게 加할 수가 있어, 이러한 계인의 실질적 適用이 可能하다. 요구 시스템(desired system)의 支配方程式은 아래와 같이 表現될 수 있다.

$$\begin{bmatrix} \dot{x}_{d1} \\ \dot{x}_{d2} \end{bmatrix} = \begin{bmatrix} 0 & 1 \\ -\omega_{dn}^2 & -2\zeta_d\omega_{dn} \end{bmatrix} \begin{bmatrix} x_{d1} \\ x_{d2} \end{bmatrix} \quad (10)$$

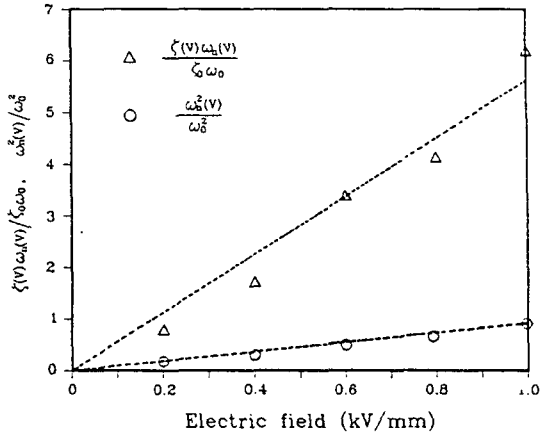


Fig. 6 Governing characteristics of the beam A

이 시스템의 特性은 實驗적으로 供給 可能한 高電壓에 의해 좌우된다. 式(8)에서 제어기의 귀환 이득 K 는 하나이므로 원하는 固有值을 임의로 놓을 수는 없다. 式(8)-(10)은 피드백 계인 K 에 따른 時間 領域에서의 應答을 얻기 위한 式이다.

式(8)로 表示된 實驗 모델 式의 妥當性을 확인하기 위해, 단순히 電場負荷를 一定한 시간동안 附加한 후 時間 領域에서 過度 振動 應答 및 強制 振動 應答을 測定하였다. 電場 無負荷時의 시스템은 式(8)의 피드백계인 K 가 零일 때이다. 이때 固有值은 $-1.7313 \pm 91.107i$ 이다. 요구 시스템은 式(10)으로 表현되고 그때의 원하는 固有值은 $-11.44 \pm 122.14i$ 로 설정한다. 이는 式(8)의 계인 K 를 19.42로 선택 하여서 구한다. Fig. 7은 K 값이 零과 19.42일 때 式(8)을 이용하여 過

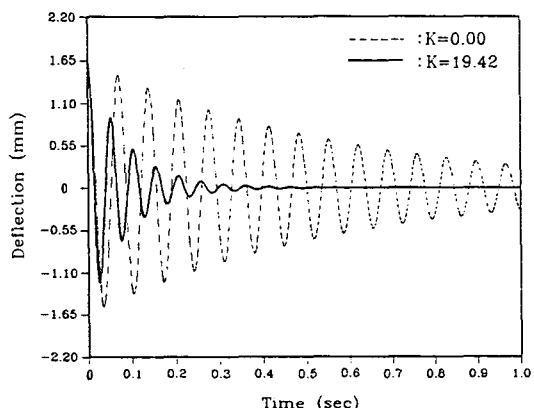
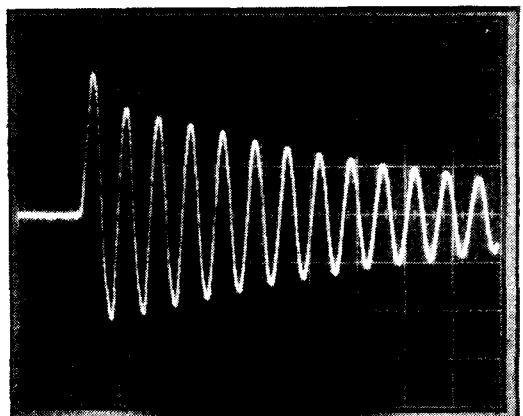
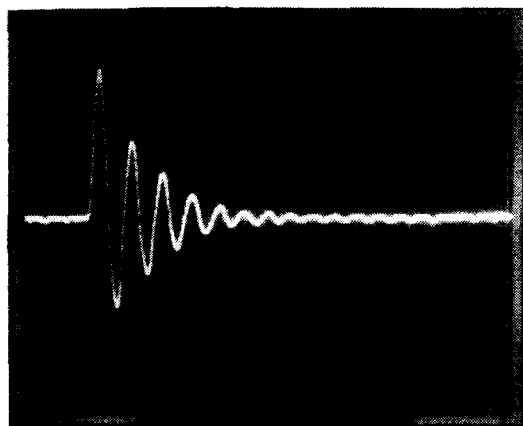


Fig. 7 Simulated transient responses of the beam A



(a)



(b)

Fig. 8 Measured transient responses of the beam A
 (a) $V = 0.0\text{kV/mm}$; 0.1sec/div, 2V/div
 (b) $V = 1.0\text{kV/mm}$; 0.1sec/div, 2V/div

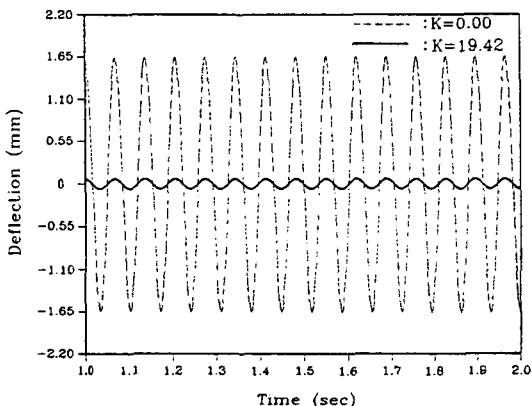
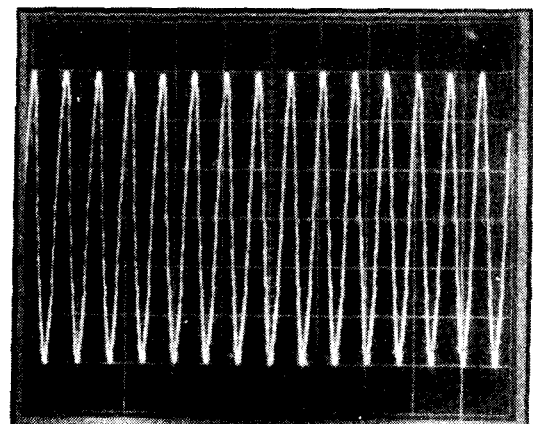


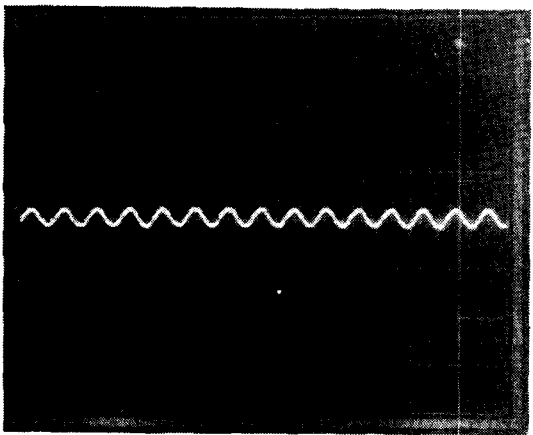
Fig. 9 Simulated steady-state responses of the beam A

渡 振動應答을 시뮬레이션한 것이다. Fig. 8은 실제적으로 實驗에서 얻은 것으로써, 電場 負荷 1kV/mm ($K = 19.42$ 에 해당) 時 固有值는 $-12.44 \pm 122.52\text{i}$ 가 됨을 알 수 있다. 이는 提示된 모델 式(8)에 대한 妥當性을 立證하는 것이다. Fig. 9는 피드게인 K 가 있을 때와 없을 때 각각에 대해서 提案된 모델 式(8)을 이용하여 強制 振動狀態의 定常 狀態를 시뮬레이션한 것이다. 외부의 加振力은 $0.45\sin\omega t$ 形태인데 여기에서 ω 는 強制 固有振動數로서 91.1062rad/sec 이다. 이 경우의 支配方程式은 式(8)의 오른쪽 항에 $0.45\sin\omega t$ 를 添加하면 된다. 強制 固有振動數가 電場 無負荷의 試片의 固有 振動數와 일치함으로 인하여 共振현상을 일으켜 振幅이 크게 된다. 그러나 電場 負荷時 뎁핑과 固有振動數의 변화로 共振 現象을 피하여 振幅이 감소 된다. Fig. 10은 實驗상에서 구한 強制振動 應答인데, 시뮬레이션과 잘 일치하고 있다. 따라서 電場의 함수인 假制御力を 導入한 方法論을 이용하여 원하는 振動特性을 얻어낼 수가 있다. 또한 이 방법에 既存의 制御理論을 添加하여 係의 自體 内亂 및 外亂과 같은 不確實性에 대해서 強健 制御에 필요한 安定性을 提供 할 수 있다.

Fig. 11은 時間領域에서 試片 A의 첫번째 모드와 두번째 모드에 대해 電場 負荷를 on-off 형태로 附加한 후 振幅의 변화를 測定하여 知能외팔보의 制御性에 대해서 考察한 것이다. Fig. 11(a)에서 보는 바와같이 電場 無負荷시의 첫번째 모드의 固有周波數인 14.5Hz 로 加振 했기 때문에 0kV/mm 時 共振現象이 일어나 振幅이 매우 커졌으나, 1.5kV/mm 의 電場 負荷時 固有周波數의 이동과 뎁핑 성질의變化로 인해 振幅이 크게 감소함을 알 수 있다. 또한 1.5kV/mm 電場 負荷時의 固有周波數인 21.9Hz 로 加振하면 共振現象이 다시 나타나고 電場供給을 중단하면 共振을 피할 수가 있다. 이는 외부의 加振 周波數에 따라 알맞은 혹은 最適의 on-off 형태의 電場을 供給함으로써 振動制御 效果를 얻을 수 있음을 意味한다. Fig. 11(b)는 두번째 모드의 固有周波數로 加振한후 電場 負荷에 따른 변화를 나타낸것인데 첫번째 모드의 현상인 Fig. 11(a)와 같은 效果를 나타낸다. 14.5Hz (첫번째모드)와 60.3Hz (두번째모드)로 加振할 경우 電場無負荷時에서 1.5kV/mm 의 電場負荷를 附加 했을때 각각에 대한 振幅 減少率 및 過度應答時間은 實驗한 결과, 振幅은 85%와 84%의 減少率을 나타내고, 過度應答時間은 0.14sec와



(a)



(b)

Fig. 10 Measured steady-state responses of the beam A
a) $V = 0.0 \text{ kV/mm}$; 0.1sec/div, 2V/div
b) $V = 1.0 \text{ kV/mm}$; 0.1sec/div, 2V/div

0.15sec이다. 결국 能動制御界의 엑튜에이터로써 要求 조건이 만족하여 사용이 可能함을 알 수 있었다. 물론 같은 형태의 電場을 한곳에 附加하여 다른 모드에 대해 서도 마찬가지로 振幅을 制御할 수 있는 것이 ER流體가 엑튜에이터로서의 長點이라고 할수 있다.

4. 結論

本研究에서는 ER流體를 이용한 知能 외팔보를 一定한 粘彈性 물질로 假定한 다음, 粘性減衰 調和 진

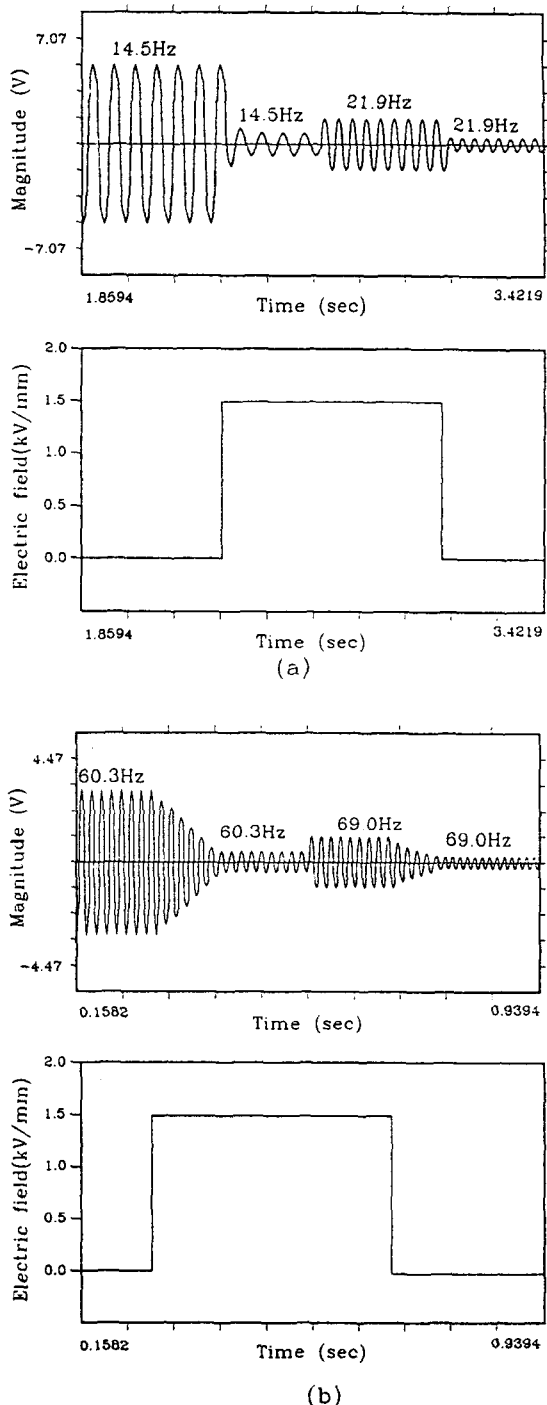


Fig. 11 Controllability of the beam A
a) First mode
b) Second mode

동기로 相似하여 電場負荷의 변화에 따른 감쇠 固有振動數, 減衰比, 彈性모듈러스와 같은 動彈性 媒介變數要素의 변화를 測定하였다. 이들의 값은 電場 負荷에 따라 거의 직선적으로 增加하였고, 이런 變化에서 ER流體를 構成하는 固體粒子의 濃度가 ER流體 體積比보다 더욱 중요한 因子임을 알 수 있었다. 振動 特性을 調律하는 現象學的 實驗 모델링을 提示하였고, 또한 그 方法論의 妥當性을 時間領域에서 過度應答과 強制應答 實驗을 통하여 立證하였다. 이는 電場 負荷를 假制御力으로 하는 既存의 比例-微分(PD)制御理論을 導入하여 원하는 振動 應答을 얻는 것이다. 또한 電場負荷를 뱡뱅형태(on-off)로 附加하여 振幅 減少 및 過度應答 時間을 測定하여 ER流體가 能動制御係의 엑튜에이터로써 使用 可能함을 立證하였다. 今后이 電場 負荷를 假制御力으로 하는 能動 閉制御係에 대한 理論的 및 實驗의 알고리즘이 研究 開發되어야 할 것으로 思料된다.

참고문헌

1. Rogers, C. A., Barker, K. D., and Jaeger, C. A., "Introduction to Smart Materials and Structures", U.S. Army Research Office Workshop on Smart materials, Structures and Mathematical Issues, Blacksburg, VA. pp. 17~28. (1988).
2. Crawley, E. F. and De Luis, J., "Use of Piezoelectric Actuators as Elements of Intelligent Structures", AIAA J., Vol. 25, No. 10, pp. 1373~1385 (1987).
3. Claus, R. O., McKeeman, J. C., May, R. G. and Bennett, K. D., "Optical Fiber Sensors and Signal Processing for Smart Materials and Structures Applications", U.S. Army Research Office Workshop on Smart Materials, Structures and Mathematical Issues, Blacksburg, VA. pp. 29~38. (1988).
4. Rogers, C. A., Liang, C. and Brarker, K. D., "Dynamic Control Concepts Using Shape Memory Alloy Reinforced Plates", U.S. Army Research Office Workshop on Smart Materials, Structures and Mathematical Issues, Blacksburg, VA. pp. 39~62. (1988).
5. Gandhi, M. V., Thompson, B. S. and Choi, S. B., "A New Generation of Innovative Ultra-advanced Intelligent Composite Materials Featuring Electro-Rheological Fluids; An Experimental Investigation", J. of Composite Materials, Vol. 23, No. 12, pp. 1232 ~1255 (1989).
6. Gandhi, M. V., Thompson, B. S., and Chio, S. B. and Shakir, S., "Electro-Rheological Fluid-Based Articulating Robotic Systems", ASME J. of Mechanisms, Transmissions and Automation in Design, Vol. 111, No. 3, pp. 328~336 (1989).
7. Block, H. and Kelly, J. P., "Electro-Rheology", J. of Physics D: Applied Physics, Vol. 21, pp. 1661~1677 (1988).
8. Stangroom, J. E., "Electro-Rheological Fluids", J. of Physics Technology, Vol. 14, pp. 290~296 (1983).
9. Winslow, W. M., "Induced Fibration Suspensions", J. of Applied Physics, Vol. 20, pp. 1137~1140 (1949).
10. Stevens, N. G., Sproston, J. L. and Stanway, R., "The Influence of Pulsed D.C Input Signals on Electro-Rheological Fluids", J. of Electro-Statics, Vol. 17, pp. 181~191 (1985).